

УДК 541.64:547.1'128

**СИНТЕЗ И СВОЙСТВА БЛОК-СОПОЛИМЕРОВ
ПОЛИДИМИТИЛСИЛОКСАН — ПОЛИВИНИЛТРИМИТИЛСИЛАН —
ПОЛИДИМИТИЛСИЛОКСАН**

Дургарьян С. Г., Филиппова В. Г.

Исследован процесс блок-сополимеризации винилтритиметилсилана и гексаметилциклотрисилоксана D_3 в присутствии «живущих» дилитиевых олигомеров поливинилтритиметилсилана. Получены блок-сополимеры винилтритиметилсилана с D_3 типа ВАВ (где А — поливинилтритиметилсилановый, В — полидимитилсилоксановый блоки) различного состава и ММ. Показано, что блок-сополимеры, синтезированные при неполной конверсии D_3 ($\leq 40\%$), практически не содержат свободного полидимитилсилоксана. Изучены температурные превращения, деформационно-прочностные характеристики и газопроницаемость силан-силоксановых блок-сополимеров.

Различные типы блок-сополимеров на основе винилтриорганосиланов и циклосилоксанов представляют интерес как новые полимерные материалы, обладающие высокими параметрами селективной газопроницаемости [1].

В настоящей работе исследовали возможность синтеза блок-сополимеров винилтритиметилсилана (ВТМС) с гексаметилциклотрисилоксаном D_3 типа ВАВ (А — поливинилтритиметилсилановый (ПВТМС), В — полидимитилсилоксановый (ПДМС) блоки) и изучали некоторые физико-механические свойства образующихся блок-сополимеров.

Очистка и осушка ВТМС описана в работе [2]. D_3 очищали возгонкой. Непосредственно перед полимеризацией D_3 подсушивали раствором бутиллития в ксиоле, а затем дегазированный до 0,13 Па раствор D_3 переконденсировали в мерник, снабженный отводом с разбивающей мембранны, где мономер хранили до использования.

Ксиол марки ч.д.а. обрабатывали концентрированной H_2SO_4 , промывали водой и сушили P_2O_5 . Перед использованием ксиол обрабатывали бутиллитием и переконденсировали в градуированную ампулу.

ТГФ сушили $NaOH$, кипятили с обратным холодильником над натрием и перегоняли. Перед использованием ТГФ обрабатывали натрийнафталиновым комплексом, а затем дегазировали до 0,13 Па и переконденсировали в мерную ампулу, снабженную отводами с разбивающими мембранны, где хранили до использования.

Инициатор — дилитийнафталин получали по методике, описанной в работе [3]. Так как дилитийнафталин нерастворим в углеводородных растворителях и осаждается при добавлении к полимеризационному раствору, в качестве инициатора полимеризации использовали «живущие» дилитиевые олигомеры ПВТМС ($M_n \sim 10^4$), полученные на основе дилитийнафталина.

Синтез блок-сополимеров ВТМС с D_3 проводили в цельнопаяном, вакуумированном до 0,13 Па стеклянном реакторе при перемешивании. Реактор имел отводы с легко разбивающими мембранными, через которые добавляли инициатор, раствор D_3 в ксиоле и ТГФ.

После вакуумирования и прогревания в реактор переконденсировали из градуированного мерника расчетное количество ВТМС, и реактор отпавали от вакуум-создающей системы. Затем, разбив бойком стеклянную мембрану, добавляли инициатор и проводили полимеризацию ВТМС при 25°. В результате получали блок А.

Концентрацию инициатора и ВТМС варьировали от $0,9 \cdot 10^{-3}$ до $6,0 \cdot 10^{-3}$ и от 4,0 до 6,5 моль/л соответственно. Конверсию ВТМС определяли из отбора пробы непосредственно перед добавлением D_3 .

На второй стадии к полимеризационному раствору добавляли раствор D_3 в ксиоле и ТГФ и осуществляли полимеризацию циклотрисилоксана на живущих дилитиевых цепях ПВТМС. Концентрацию силоксанового мономера изменяли от 0,11 до 0,46 моль/л. Температура реакции 25 и 40°. В зависимости от заданного состава блок-сополимера время полимеризации варьировали от 2 до 16 ч.

Полученные блок-сополимеры осаждали метанолом, отфильтровывали и сушили до постоянного веса. Состав полученных продуктов определяли как по содержанию в них кремния, так и по общей конверсии мономеров, поскольку степень превращения ВТМС была известна из отбора пробы.

Для удаления силоксанового гомополимера синтезированные блок-сополимеры экстрагировали МЭК. Экстракцию повторяли несколько раз до тех пор, пока добавление метанола к МЭК, собранному после экстракции, не вызывало помутнения.

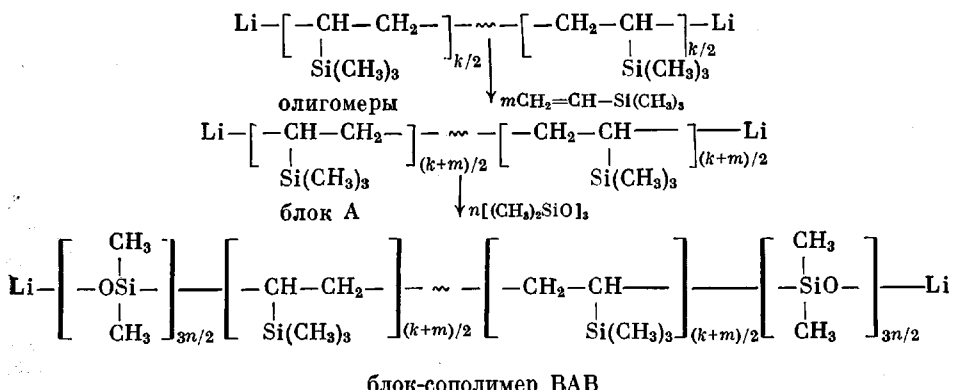
Образцы для физико-механических испытаний готовили в виде пленок толщиной 150–200 мкм. Пленки отливали из 5%-ных растворов блок-сополимеров в циклогексане на подложку из целлофана. Растворитель испаряли в течение 48 ч, после чего пленки сушили при 40° до постоянного веса.

Экспериментальные исследования по динамическому поведению блок-сополимеров проводили наtorsионном маятнике, работающем в режиме свободно затухающих колебаний [4]. Исследования проводили в интервале температур –140–+180° при частоте 1 Гц; образец нагревали со скоростью 1 град/мин.

Механические свойства пленок оценивали на приборе марки «Инстрон-1122» при 25° и скорости растяжения образцов 8·10^{–3} м/с.

Коэффициенты газопроницаемости определяли на газовом хроматографе с помощью ячейки дифференциального типа [5] при 25° и при перепаде парциальных давлений 10⁶ Па.

Блок-сополимеры ВТМС с D₃ синтезировали методом анионной полимеризации. Отличительной особенностью синтеза блок-сополимеров типа ВАВ является использование в качестве инициатора живущих дилитиевых олигомеров ПВТМС. Применение дифункционального инициатора позволяет осуществить синтез блок-сополимеров типа ВАВ в две стадии путем последовательного добавления мономеров по следующей схеме:



На первой стадии проводили полимеризацию ВТМС на предварительно синтезированных дилитиевых живущих олигомерах ПВТМС ($\bar{M}_n \sim 10^4$) и получали блок А с $\bar{M}_v \sim 5 \cdot 10^4 - 4 \cdot 10^5$. Так как в выбранных условиях полимеризация ВТМС протекала по механизму живущих цепей, то длину блока ПВТМС легко контролировали, изменяя соотношение мономер : инициатор от 600 до 5000. ММР блоков ПВТМС было довольно широким ($\bar{M}_w/\bar{M}_n = 1,6 - 1,8$), что являлось, по-видимому, следствием низкой скорости реакции инициирования, протекающей в гетерогенной среде (стадия получения олигомеров).

Чтобы сохранить возможность перемешивания реакционной массы, конверсию ВТМС в полимер доводили до 20–30%, а затем добавляли D₃. Так как при взаимодействии с циклосилоксаном активные центры C – Li переходят в активные центры SiOLi, которые не ведут полимеризацию ВТМС, то добавление D₃ допустимо при неполной конверсии ВТМС.

Вторая стадия синтеза состояла в полимеризации D₃ на живущих цепях ПВТМС. Обрывая полимеризацию через определенные промежутки времени, синтезировали блок-сополимеры ПДМС – ПВТМС – ПДМС, содержащие от 10 до 70% блоков ПДМС. Условия синтеза некоторых блок-сополимеров и характеристика полученных продуктов представлены в табл. 1.

На второй стадии синтеза блок-сополимеров были проведены кинетические исследования по влиянию концентрации D₃, активных центров и

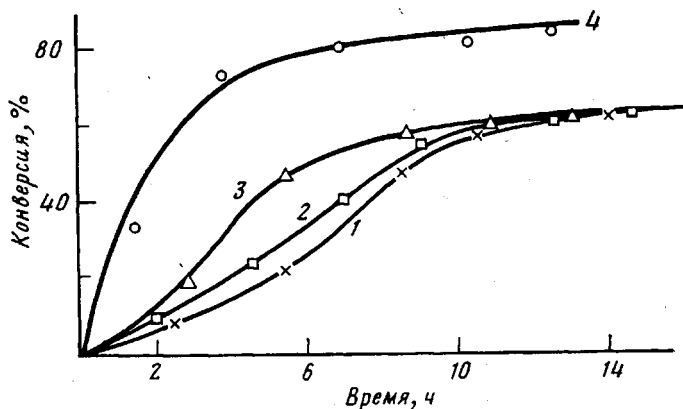


Рис. 1. Изменение конверсии D_3 в процессе полимеризации. $[Li - PBTMC - Li] \cdot 10^4 = 7,8$ (1, 2, 4) и $2,6$ г-экв/л (3); $[D_3] = 0,16$ (1) и $0,30$ моль/л (2–4). Температура 25 (1–3) и 40° (4)

температуры на полимеризацию циклотрисилоксана на живущих дилитиевых цепях ПВТМС.

Как видно из кинетических кривых полимеризации D_3 , на живущих дилитиевых цепях ПВТМС (рис. 1) уменьшение концентрации силоксанового мономера почти вдвое приводит к снижению скорости полимеризации D_3 (кривые 1 и 2).

В отношении влияния концентрации инициатора наблюдается обратная картина. При постоянной концентрации D_3 ($0,30$ моль/л) с уменьшением концентрации живущих цепей в растворе скорость конверсии D_3 возрастает в $\sim 1,5$ раза (кривые 2 и 3). Так как в опыте, представленном кривой 3, длина цепи живущего $Li - PBTMC - Li$ ($M_w \sim 400\,000$), на которой протекает рост цепи ПДМС, в 2 раза превышала длину блока $Li - PBTMC - Li$ ($M_w \sim 200\,000$) в опыте, представленном кривой 2, эффект повышения скорости можно объяснить ранее описанными явлениями внутримолекулярной ассоциации активных центров [6].

По достижении степени превращения циклотрисилоксана $50 - 60\%$ скорость полимеризации D_3 во всех рассмотренных случаях падает. При этом

Таблица 1

Блок-сополимеризация ВТМС с D_3

| Опыт, № | Условия синтеза | | | | | | | | Содержание ПДМС в блок-сополимере, % | Содержание свободного ПДМС, % | | |
|---------|---|--------------|--------------|---|----------------|--------------|---|--|--------------------------------------|-------------------------------|--|--|
| | ВТМС | | | D_3 | | | [η] блок-сополимеров (толуол, 25°), дл/г | | | | | |
| | [$Li - PBTMC - Li$] $\cdot 10^4$, г-экв/л | ВТМС, моль/л | конверсия, % | [$Li - PBTMC - Li$] $\cdot 10^4$, г-экв/л | D_3 , моль/л | конверсия, % | | | | | | |
| 1 | 2,0 | 5,3 | 29,0 | 0,78 | 0,30 | 11,0 | 0,75 | | 11,0 | | | |
| 2 | 2,0 | 5,3 | 29,0 | 0,78 | 0,30 | 24,0 | 0,80 | | 21,0 | | | |
| 3 | 2,0 | 5,3 | 29,0 | 0,78 | 0,30 | 32,0 | 0,90 | | 27,0 | | | |
| 4 | 2,0 | 5,3 | 29,0 | 0,78 | 0,30 | 40,4 | 0,95 | | 31,0 | | | |
| 5 | 2,0 | 5,3 | 29,0 | 0,78 | 0,30 | 55,0 | 1,00 | | 38,0 | | | |
| 6 | 2,2 | 5,1 | 22,0 | 1,56 | 0,11 | 98,0 | 0,65 | | 25,0 | | | |
| 7 | 5,0 | 6,5 | 30,5 | 2,40 | 0,33 | 98,0 | 0,70 | | 42,0 | | | |
| 8 | 0,9 | 4,8 | 22,0 | 0,32 | 0,25 | 91,0 | 1,45 | | 50,0 | | | |
| 9 | 3,4 | 6,5 | 22,0 | 1,05 | 0,32 | 80,0 | 1,10 | | 60,0 | | | |
| 10 | 6,0 | 4,0 | 27,0 | 1,88 | 0,46 | 94,0 | 0,65 | | 70,0 | | | |

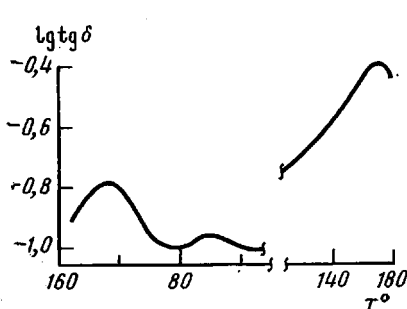


Рис. 2

Рис. 2. Температурная зависимость тангенса угла механических потерь блок-сополимера, содержащего 50 вес.% ПДМС

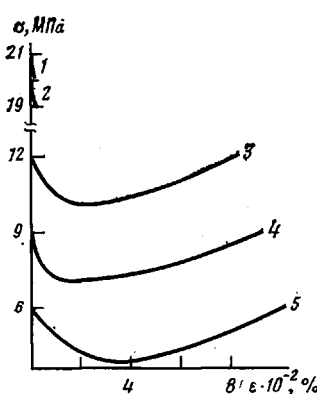


Рис. 3

Рис. 3. Кривые растяжения пленок, приготовленных из блок-сополимеров ПДМС – ПВТМС – ПДМС, содержащих 20 (1), 25 (2), 40 (3), 50 (4) и 60 вес.% ПДМС (5). \bar{M}_n (ПВТМС) $\sim 2 \cdot 10^5$

в образцах блок-сополимеров появляется силоксановый гомополимер вследствие возрастающей роли побочных реакций передачи цепи [7].

Экстракция синтезированных блок-сополимеров метилэтилкетоном показала, что количество силоксанового гомополимера возрастало по мере увеличения степени превращения D_3 . В образцах блок-сополимеров, полученных при конверсии $D_3 \leq 40\%$, свободный ПДМС не обнаружен (табл. 1, опыты 1–4). При дальнейшем повышении степени превращения D_3 содержание свободного ПДМС в образцах возрастало и достигало 10–15% при 80–98%-ной конверсии циклосилоксана (табл. 1, опыты 5–10).

Следует заметить, что содержание силоксанового гомополимера несколько завышено, так как элементный анализ продуктов, растворенных в МЭК, показал, что они не являются чистым ПДМС. Это связано с тем, что МЭК – растворитель не только для ПДМС, но способен растворять и низкомолекулярные ($M_n \sim 20\,000$) цепи блок-сополимеров с высоким содержанием ПДМС (>70%).

Таким образом, для синтеза блок-сополимеров ПДМС – ПВТМС – ПДМС заданного состава, ММ и свободных от силоксанового гомополимера процесс блок-сополимеризации следует обрывать при полной конверсии D_3 ($\leq 40\%$).

Повышение температуры на второй стадии синтеза с 25 до 40° приводит к заметному возрастанию скорости полимеризации D_3 (рис. 1, кривые 2 и 4), что позволяет значительно сократить длительность процесса блок-сополимеризации.

Разработанный метод синтеза позволил получить сополимеры типа ПДМС – ПВТМС – ПДМС практически любого состава и ММ.

Синтезированные силиан-силоксановые блок-сополимеры состоят из термодинамически несовместимых блоков ПВТМС и ПДМС, параметры растворимости которых заметно различаются. Параметр растворимости ПВТМС составляет $\delta = 8,2$ (кал/см³)^{0,5}, а ПДМС – 7,3 (кал/см³)^{0,5}. Взаимная несовместимость компонентов блок-сополимера обусловливает сегрегацию каждого из них в отдельную фазу и возникновение двухфазной морфологии. Одно из характерных свойств силиан-силоксанов блок-сополимеров, вытекающее из разделения их на отдельные микрофазы, – наличие двух температур стеклования, отражающих индивидуальные свойства каждого из блоков. На графике температурной зависимости тангенса угла механических потерь отчетливо фиксируются два перехода при -125 и при 170° , соответствующие температурам стеклования ПДМС и ПВТМС (рис. 2). Максимум при -60° соответствует температуре плавления кристаллитов ПДМС.

Таблица 2

Проницаемость силан-силоксановых блок-сополимеров

| Содержание ПДМС, вес.% | Коэффициенты проницаемости $P \cdot 10^8$, $\text{см}^3 \text{см}/\text{см}^2 \cdot \text{с} \cdot \text{см}$ рт. ст. | | P_{O_2}/P_{N_2} |
|---------------------------|---|----------|-------------------|
| | по O_2 | по N_2 | |
| ПВТМС | 0,44 | 0,11 | 4,0 |
| 20 | 0,67 | 0,19 | 3,5 |
| 40 | 1,22 | 0,45 | 2,7 |
| 70 | 2,46 | 1,00 | 2,5 |
| 100 | 6,00 | 2,80 | 2,1 |

Силан-силоксановые блок-сополимеры построены из блоков различной природы — термопластичного жесткого блока ПВТМС и эластичного блока ПДМС, что позволяет заметно изменять свойства блок-сополимеров при изменении соотношения блоков. Эта специфика блок-сополимеров наиболее наглядно проявляется при изучении их механических свойств. На рис. 3 представлены кривые растяжения силан-силоксановых блок-сополимеров различного состава. Характер кривых показывает, что с возрастанием содержания ПВТМС в блок-сополимерах наблюдается переход от свойств чистого эластомера к свойствам чистого ПВТМС. Так как свойства блок-сополимеров определяются свойствами непрерывной фазы, то, по-видимому, при содержании блока ПДМС 25 вес.% он образует дискретную фазу, а ПВТМС — непрерывную, поскольку эти материалы имеют прочность на разрыв ($\sigma \sim 19-20$ МПа) и удлинение при разрыве ($\varepsilon \sim 7-10\%$), близкие к соответствующим характеристикам ПВТМС ($\sigma \sim 20-22$ МПа, $\varepsilon \sim 3-5\%$). С возрастанием содержания ПДМС в блок-сополимерах происходит обращение фаз, в результате чего образуется структура с дискретной фазой ПВТМС и непрерывной фазой ПДМС, которая сообщает блок-сополимерам эластичность, свойственную наполненному и спищому ПДМС (кривые 3-5).

Одно из наиболее важных физических свойств силан-силоксановых блок-сополимеров — их селективная проницаемость для газов. Это обусловлено тем, что указанные блок-сополимеры сочетают в себе высокую селективность газоразделения ПВТМС ($P_{O_2}/P_{N_2}=4,0$) с высокой общей проницаемостью ПДМС ($P_{O_2}=60 \text{ см}^3 \text{см}/\text{см}^2 \cdot \text{с} \cdot \text{см}$ рт. ст.). В табл. 2 приведены коэффициенты проницаемости ПВТМС, ПДМС и блок-сополимеров различного состава по кислороду P_{O_2} и азоту P_{N_2} и фактор разделения этих газов P_{O_2}/P_{N_2} .

Анализ данных табл. 2 показывает, что параметры газопереноса, как и механические свойства, зависят от состава блок-сополимера. С увеличением содержания силоксанового блока проницаемость блок-сополимеров по кислороду и азоту возрастает. При этом фактор разделения этой пары газов для некоторых составов блок-сополимеров (~20–30% ПДМС) понижается незначительно.

Высокие параметры селективного газопереноса в сочетании с удовлетворительными механическими характеристиками свидетельствуют о перспективности этих материалов для создания на их основе газоразделительных мембран.

ЛИТЕРАТУРА

- Наметкин Н. С., Дургарьян С. Г., Новицкий Э. Г., Филиппова В. Г., Гладкова Н. К., Теляков В. В. А. с. 983128 (СССР).— Опубл. в Б. И., 1982, № 47, с. 99.
- Наметкин Н. С., Хотимский В. С., Дургарьян С. Г. Докл. АН СССР, 1966, т. 166, № 5, с. 1118.
- Hsieh H. L. J. Organomet. Chem., 1967, v. 7, № 1, p. 1.
- Яновский Ю. Г., Дзюра Е. А. Завод. лаб., 1969, т. 35, № 12, с. 1485.
- Теляков В. В., Евсеенко А. Л., Новицкий Э. Г., Дургарьян С. Г. Пласт. массы, 1978, № 5, с. 49.
- Шварц М. Анионная полимеризация. М.: Мир, 1971, с. 489.
- Zillox J. G., Roovers J. E. L., Bywater S. Macromolecules, 1975, v. 8, № 5, p. 573.

**SYNTHESIS AND PROPERTIES OF POLYDIMETHYLSILOXANE —
POLYVINYLTETRAMETHYLSILANE — POLYDIMETHYLSILOXANE
BLOCK COPOLYMERS**

Durgar'yan S. G., Filippova V. G.

S u m m a r y

Brock copolymerization of vinyltrimethylsilane and hexamethylcyclotrisiloxane (D_3) in the presence of «living» dilithium polyvinyltrimethylsilane oligomers has been studied. Block copolymers of the BAB type (A is polyvinyltrimethylsilane, B is polydimethylsiloxane block) having various compositions and MM were obtained. Block copolymers synthesized with incomplete conversion of D_3 (<40%) were shown to contain practically no free polydimethylsiloxane. The temperature transformations, strain-strength characteristics and gas permeability of silane-siloxane block copolymers were studied.